

энергия взаимодействия полимеров с растворителями и пластификаторами зависит не только от их природы, но и от удаленности системы от ее T_c .

Из рис. 1 видно, что при $\Phi_1=0,2$ и 293 К система ПВХ — ДБФ близка к своей T_c , т. е. к переходу в высокоэластическое состояние, а система ПВХ — о-толидин значительно удалена от T_c . Во втором случае структура пластифицированной системы должна быть прочнее и стабильнее, чем в первом.

Полученные данные подтверждают положения, высказанные в работах [7, 8], о том, что «антипластификационный» эффект, т. е. эффект упрочнения при введении пластификатора в ПВХ, проявляется в стеклообразном состоянии. Можно полагать, что причины этого явления связаны с образованием прочных ориентированных сольватных слоев пластификаторов в фазе стеклообразного полимера. Последнее всегда сопровождается большими экзотермическими эффектами, т. е. уменьшением энталпии ($\Delta H < 0$) и энтропии ($\Delta S < 0$) [14].

ЛИТЕРАТУРА

1. Jackson W. L., Coldwell J. R. J. Appl. Polymer Sci., 1967, v. 11, № 2, p. 211, 227.
2. Makaruk L. Prace naukowe Politechniki Warszawskiej. Chemia, 1974, № 14, S. 1.
3. Журков С. Н., Абасов С. А. Высокомолек. соед., 1961, т. 3, № 3, с. 450.
4. Регель В. Р., Случкер А. И., Томашевский Э. В. Кинетическая природа прочности твердых тел. М.: Наука, 1974. 566 с.
5. Воскресенский В. А., Шакирзянова С. С. Ж. прикл. химии, 1962, т. 35, № 5, с. 1445.
6. Brous S. L., Seton W. L. Industr. Engng Chem., 1935, v. 27, № 6, p. 667.
7. Maski L. Рокутер, 1978, v. 19, № 3, p. 325.
8. Перепечко И. И. Акустические методы исследования полимеров. М.: Химия, 1973. 295 с.
9. Тагер А. А., Вшивков С. А., Поляк О. Э. Высокомолек. соед. А, 1982, т. 24, № 3, с. 661.
10. Штаркман Б. П. Пластификация поливинилхлорида. М.: Химия, 1975. 248 с.
11. Натов М. А., Ганчева Т. С. Высокомолек. соед. А, 1970, т. 12, № 2, с. 273.
12. Тагер А. А., Бессонов Ю. С., Иканина Т. В., Родионова Т. А., Суворова А. И., Эльбей С. А. Высокомолек. соед. А, 1983, т. 25, № 7, с. 1444.
13. Подлесняк А. И. Дис. на соискание уч. ст. канд. хим. наук. Свердловск: Уральский гос. ун-т, 1969. 130 с.
14. Тагер А. А. Физикохимия полимеров. М.: Химия, 1978. 544 с.

Уральский государственный
университет им. А. М. Горького

Поступила в редакцию
28.IV.1983

УДК 541.64:539.199

ВЛИЯНИЕ ТЕМПЕРАТУРЫ НА МОЛЕКУЛЯРНУЮ ПОДВИЖНОСТЬ ОРИЕНТИРОВАННЫХ ПОЛИЭТИЛЕНА И ПОЛИПРОПИЛЕНА ПОД НАГРУЗКОЙ. РОЛЬ РЕЛАКСАЦИОННЫХ ПЕРЕХОДОВ

Карпова С. Г., Попов А. А., Заиков Г. Е.

Ранее методом ЭПР-спектроскопии с использованием радикала-зонда исследовали воздействие растягивающих нагрузок на молекулярную подвижность цепей в аморфной фазе одноосноориентированных образцов ПЭ и ПП [1–3]. Развитием этих работ является изучение влияния температуры на ранее обнаруженные зависимости. Важность данных исследований несомненна, так как воздействие внешних факторов (химического, механического, теплового) в процессе эксплуатации полимерных материалов вызывает изменения структурных параметров, что, в свою очередь, влияет на их физико-механические и окислительно-деструктивные свойства. Имеются данные [4–6] о существовании температур выше T_c , при которых резко меняются структурные параметры полиолефинов. Так, в работе [4] методом ЯМР обнаружен эффект увеличения подвиж-

ности при растяжении в температурном интервале -30 — $+50^\circ$. За пределами этого интервала данный эффект не обнаружен. Данные работы [5] свидетельствуют о том, что аморфная фаза ПП до 350° с точки зрения молекулярной подвижности находится в переходном состоянии. Из литературы известно о существовании релаксационных переходов при температурах выше T_c [6], которые связывают с размораживанием движения цепи как целого [7]. Цель данной работы состояла в изучении влияния температуры на увеличение молекулярной подвижности при деформации ориентированных образцов ПП и ПЭ. Кроме того, было необходимо показать правомочность применения метода зонда для обнаружения релаксационных переходов.

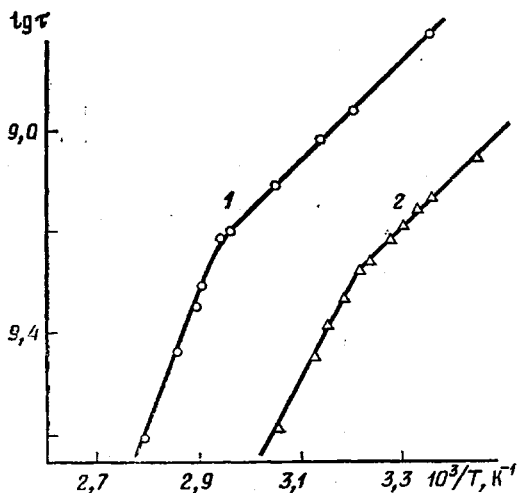


Рис. 1. Температурные зависимости $-\lg \tau$ в ПП с $\lambda=6$ (1) и в ПЭ с $\lambda=7,5$ (2)

[8]. Радикал-зонд вводили из паров до концентрации 10^{-3} моль/л. Верхней границей времени корреляции τ была величина $2 \cdot 10^{-9}$ с, поэтому расчет проводили по формуле

$$\tau = 6,65 \Delta H \left(\sqrt{\frac{I_+}{I_-}} - 1 \right),$$

где ΔH — ширина компонента спектра, расположенного в слабом поле; I_+ , I_- — интенсивности крайних компонентов спектра в слабом и сильном полях соответственно.

Ошибка определения составляла $\pm 3\%$.

Полимерные образцы длиной 70, шириной 5—7 мм и толщиной 0,05 мм помещали в ЭПР-спектрометр и нагружали в режиме постоянного напряжения ($\sigma = \text{const}$) с помощью устройства, описанного в работе [9]. Одновременно с записью спектра ЭПР автоматически регистрировали величину деформации образца ϵ , точность измерения которой составляла $\pm 0,5\%$.

Для поддержания заданной температуры была создана кварцевая кювета, через которую пропускали воздух из компрессора при атмосферном давлении. Температуру воздуха поддерживали на заданном уровне с точностью $\pm 1^\circ$. Физико-механические испытания проводили на универсальной машине «Инстрон-1122».

Полимерные пленки готовили прессованием на подложке из целлофана с последующим быстрым охлаждением в ледяной воде. Ориентацию пленок проводили методом локального нагревания [10].

Для исследования были выбраны образцы ПП с $\lambda=6$ и ПЭ с $\lambda=7,5$. Образцы подвергали испытанию в температурном интервале 18 — 100° .

На рис. 1 представлены температурные зависимости времени корреляции τ , характеризующего молекулярную подвижность, где при $T_1 \approx 60^\circ$ (для ПП) и $T_2 \approx 50^\circ$ (для ПЭ) наблюдается излом. Причем в ПП и ПЭ он характеризуется одним значением $\tau \approx 9 \cdot 10^{-10}$ с. Привлекая данные других методов, позволяющих выявить существование релаксационного перехода [11, 12], можно предположить, что T_1 и T_2 — точки релаксационных переходов. Движения в низкотемпературной области в ПП и ПЭ имеют энергию активации $E' \approx 18,0 \pm 2$ кДж/моль, а в высокотемпературной области $E' \approx 42$ кДж/моль. Следовательно, можно предположить, что при-

T_1 и T_2 размораживается движение больших фрагментов с характерным τ .

На кривых зависимости ε от σ (рис. 2) линейный участок в ПП наблюдается до 18%, а в ПЭ до 4–5% при температурах, меньших T_1 или T_2 соответственно. При более высоких температурах граница линейности смещается в ПП до $\varepsilon \approx 6$ –8% и в ПЭ до 2%. При этих же температурах

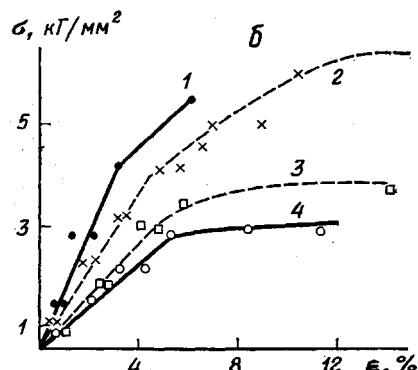
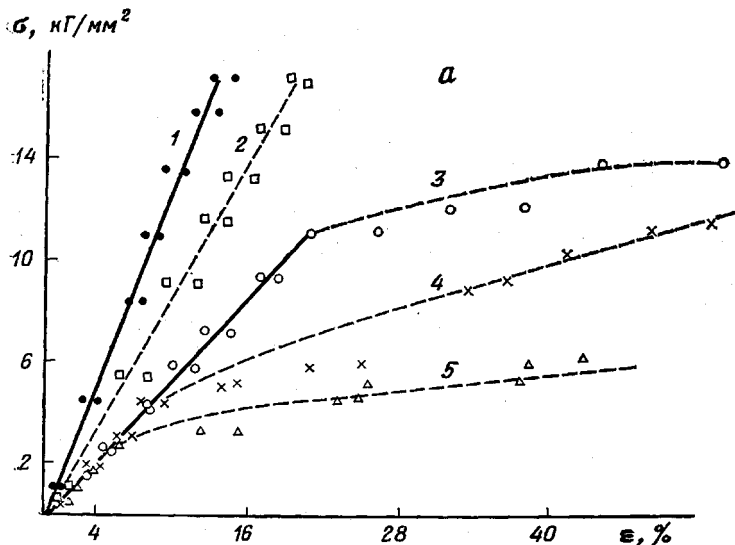


Рис. 2. Зависимость ε от σ для ПП при 25 (1), 37 (2), 55 (3), 70 (4), 77° (5) (а) и для ПЭ при 18 (1), 33 (2), 40 (3), 42° (4) (б)

наблюдается излом на кривой зависимости модуля упругости E от T (рис. 3). Если до T_1 или T_2 модуль уменьшается с ростом температуры (что характерно для твердых тел), то при более высоких температурах наблюдается незначительное увеличение модуля упругости (что характерно для каучуков). Наблюдаемый релаксационный переход обусловливает и резкое изменение в характере поведения образцов под нагрузкой (рис. 4). До T_1 или T_2 с ростом температуры величина эффекта увеличения подвижности при нагружении в обратимой зоне деформации уменьшается незначительно. При более высоких температурах этот эффект практически вырождается (рис. 5).

Как было показано ранее [1–3], деформация слабоориентированных образцов ПП и ПЭ в обратимой зоне деформации сопровождается увеличением молекулярной подвижности, что обусловлено разрыхлением структуры аморфной фазы. С ростом ориентации эффект увеличения

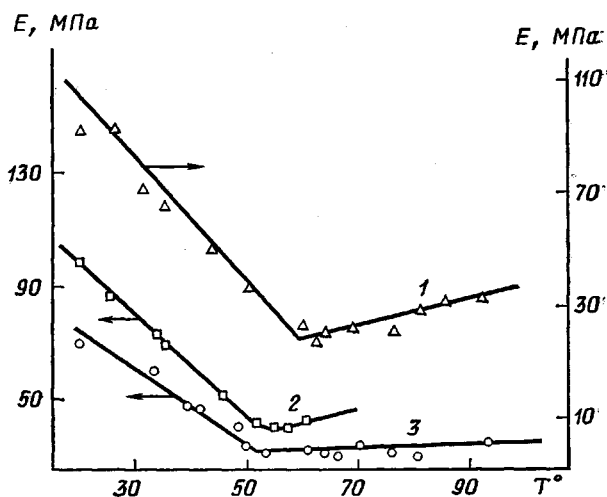


Рис. 3. Зависимость модуля упругости $E \cdot 10^{-4}$ для ПП с $\lambda=6$ (1), ПЭ с $\lambda=7,5$ (2) и ПЭ с $\lambda=5,5$ (3)

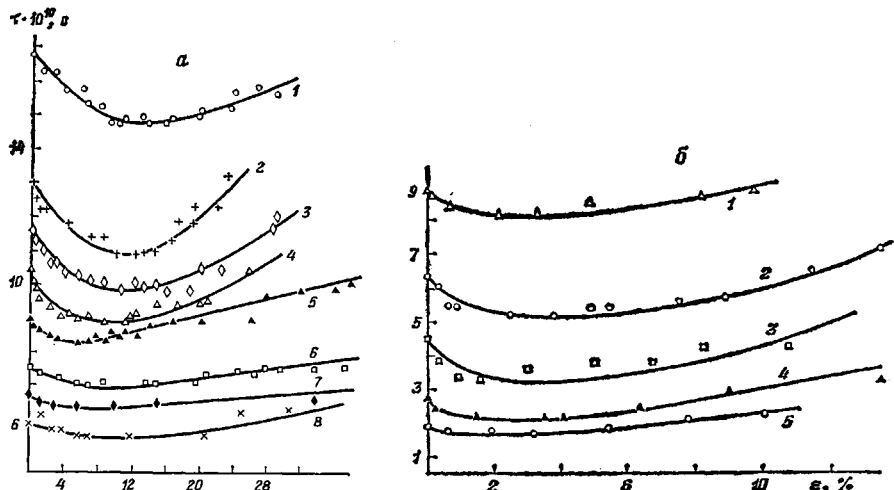


Рис. 4. Изменение τ с ε для ПП с $\lambda=6$ при 19 (1), 39 (2), 45 (3), 55 (4), 60 (5), 70 (6), 77 (7), 80° (8) (а) и ПЭ с $\lambda=7,5$ при 19 (1), 33 (2), 40 (3), 48 (4) и 52° (5) (б)

подвижности в обратимой зоне деформации постепенно уменьшается, и для высокоориентированных образцов на всем участке растяжения наблюдается уменьшение молекулярной подвижности. На наш взгляд, основная причина разрыхления заключена в гетерогенности аморфной фазы [2]. Держащие нагрузку цепи, имея большую жесткость, чем недержащие, препятствуют поперечной деформации ε_{\perp} при осевом растяжении ε_{\parallel} . По мере уменьшения градиента жесткости переходных цепей с ростом ориентации эффект разрыхления уменьшается. До температур T_1 и T_2 наблюдаемый эффект при растяжении уменьшается незначительно, вероятно, из-за теплового расширения он проявляется в меньшей степени. Видимо, при температурах T_1 и T_2 происходят релаксационные переходы. Такой вывод подтверждается данными по изменению E с температурой. До достижения T_1 и T_2 модуль упругости уменьшается, что характерно для твердых тел. При $T > T_1$ (или T_2) наблюдается незна-

чительный рост E , что указывает на преобладающую роль энтропийной упругости. Из этого можно заключить, что при T_1 (или T_2) происходит качественное изменение состояния аморфной фазы. Поведение этих образцов под нагрузкой также трансформируется. При $T > T_1$ (или T_2) эффект увеличения молекулярной подвижности при деформации практически исчезает.

Постоянство параметра τ в данном случае аналогично зависимости, наблюдавшейся для каучуков (рис. 6). В обоих случаях растягивающая деформация не меняет подвижности макромолекул, что указывает на незначительные изменения плотности аморфной фазы и жесткости цепей. При достижении T_1 в ПП и T_2

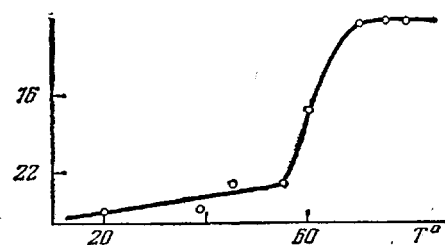


Рис. 5. Зависимость изменения $\Delta t/\Delta \epsilon \cdot 10^{-9}$ для ПП с $\lambda=6$ от температуры

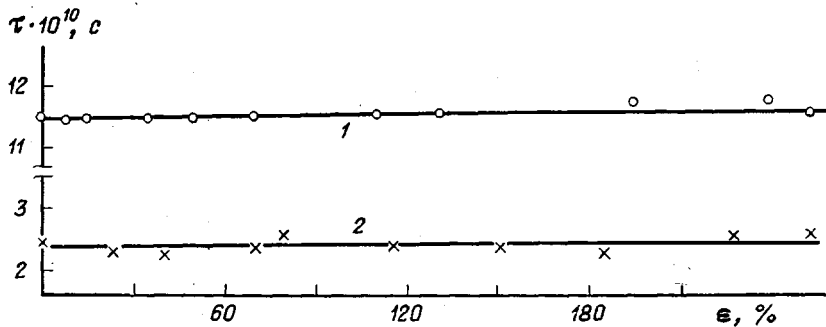


Рис. 6. Зависимость величины τ от ϵ для серных вулканизатов – натурального каучука (1) и 1,4-цикло-полибутиддиена (2)

в ПЭ высвобождаются дополнительные степени свободы, увеличивающие кинетическую гибкость макрочепей, что приближает их по свойствам к эластомерам. А как известно [13], деформация последних происходит без ощутимых изменений свободного объема.

ЛИТЕРАТУРА

- Попов А. А., Карпова С. Г., Подкопаева Е. В., Коварский А. Л., Неверов А. Н., Заиклов Г. Е. Высокомолек. соед. А, 1980, т. 22, № 4, с. 868.
- Карпова С. Г., Попов А. А., Привалова Л. Г., Заиклов Г. Е. Высокомолек. соед. А, 1983, т. 25, № 11, с. 2446.
- Карпова С. Г., Попов А. А., Чвалун С. Н., Годовский Ю. К., Зубов Ю. А., Заиклов Г. Е. Высокомолек. соед. А, 1983, т. 25, № 11, с. 2435.
- Егоров Е. А., Жижженков В. В. Высокомолек. соед. Б, 1972, т. 14, № 5, с. 357.
- Егоров Е. А., Жижженков В. В. Высокомолек. соед. А, 1982, т. 24, № 1, с. 67.
- Бойлер Р. Ф. В кн.: Переходы и релаксационные явления в полимерах, М.: Мир, 1968, с. 305.
- Бартенев Г. М., Алигулиев Р. М., Хитеева Д. М. Высокомолек. соед. А, 1981, т. 23, № 9, с. 2003.
- Бучаченко А. Л., Вассерман А. М. Стабильные радикалы. М.: Химия, 1973, с. 408.
- Томашевский Э. Е., Случкер А. И. Заводск. лаб., 1963, т. 29, с. 994.
- Журков С. Н., Левин Б. Я., Савицкий А. В. Докл. АН СССР, 1969, т. 186, № 1, с. 132.
- Турлей С. Г., Кесккула Х. В кн.: Переходы и релаксационные явления в полимерах. М.: Мир, 1968, с. 96.
- Андранинова Г. П. Физикохимия полиолефинов. М.: Химия, 1974.
- Годовский Ю. К. Техофизические методы исследования полимеров. М.: Химия, 1976, с. 216.

Институт химической
физики АН СССР

Поступила в редакцию
29.IV.1983